



Inferência Bayesiana de Porosidade em Poços

Luiz Geraldo Lucchesi Loures

Fernando Sergio Moraes

Universidade Estadual do Norte Fluminense

Resumo

A resposta da maior parte dos perfis de poço está condicionada aos valores de porosidade, com variações dependentes do princípio físico do método de perfilagem e da sensibilidade e raio de investigação da ferramenta. Este trabalho apresenta uma metodologia para integrar a informação de diversos perfis, através de inversão conjunta de dados de poço para a determinação da porosidade intervalar. A metodologia de inversão se baseia na teoria bayesiana de inferência, permitindo também a incorporação de informação *a priori* proveniente de análises geológicas e de física de rocha, além do tratamento sistemático das incertezas. A análise de incerteza está embutida no processo de inferência bayesiana, uma vez que a solução é a distribuição de probabilidade da porosidade condicional aos dados e informação *a priori*. A formulação matemática da metodologia é apresentada e sua aplicação ilustrada através de um exemplo sintético.

INTRODUÇÃO

A estimativa de porosidade em poços é o primeiro passo para a determinação de sua distribuição ao longo do reservatório. Nesse processo, integra-se a informação de diversos perfis tais como os de porosidade, densidade, velocidades e litológicos. A integração dos perfis é fundamentada em de fórmulas teóricas e empíricas derivadas de estudos de física de rocha. Muitas dessas expressões relacionam a porosidade com as propriedades elásticas da rocha. Dentre estas, podemos destacar as apresentadas por Gassmann (1951), Wyllie *et al.* (1956), Raymer *et al.* (1980), Han *et al.* (1986) e Eberhart-Phillips *et al.* (1989).

Invariavelmente, todo o tipo de medida em poço contém uma componente de erro introduzida por fatores diversos. Por exemplo, os perfis de porosidade tem como princípio físico a emissão de nêutrons que detectam a presença de hidrogênio no meio. Porém, a quantidade de hidrogênio não está condicionada apenas aos espaços vazios na rocha. Argilominerais e fluidos intersticiais ricos em hidrogênio introduzem erros nas medidas de porosidade obtidas com o perfil de nêutrons, superestimando a porosidade. As ferramentas de poço são calibradas antes de uma perfilagem para minimizar esses erros, mas isso requer conhecimento prévio do tipo de matriz e fluido presente. Consequentemente, aproximações e padrões estabelecidos em laboratório são adotados, o que nem sempre produz o melhor resultado.

Esse quadro é sugestivo de que o desenvolvimento de um esquema de inversão conjunta de perfis pode produzir estimativas melhoradas para porosidade, considerando que tal procedimento integra dados de fontes distintas e possibilita tratamento dos erros. Cada tipo de dado contém informações que não são afetadas da mesma forma pelos diversos tipos de ruídos. Além disso, metodologias de inversão permitem incorporar informação *a priori* derivada dos estudos de física de rocha.

A influência da pressão efetiva, porosidade e conteúdo de argila em arenitos nas velocidades sísmicas VP e VS é descrita pelas seguintes expressões derivadas por Eberhart-Phillips *et al.* (1989):

$$VP = 5.77 - 6.94\phi - 1.73\sqrt{C} + 0.446(P_e - e^{-16.7P_e}), \quad (1)$$

e

$$VS = 3.70 - 4.94\phi - 1.57\sqrt{C} + 0.361(P_e - e^{-16.7P_e}), \quad (2)$$

onde ϕ é a porosidade, C a quantidade de argila e P_e a pressão efetiva. Outra expressão bem conhecida descreve a densidade da rocha ρ como sendo dada por

$$\rho = (1 - \phi)\rho_m + \phi\rho_f, \quad (3)$$

onde ρ_m é a densidade da matriz e ρ_f a densidade do fluido.

Essas simples expressões já são suficientes para introduzir dependência de VP , VS e ρ com a constituição mineralógica da matriz, pela quantidade de filtrado que invade o meio poroso e com as variações de pressão e temperatura. Tal superposição de efeitos torna ambíguo o problema de se estimar a porosidade a partir de observações de VP , VS . Por isso, o processo de inversão demanda um processo cuidadoso de análise da informação *a priori* proveniente de outros dados de engenharia de poço e geologia, além da calibração específica das expressões constitutivas através de análises de física de rocha.

A teoria bayesiana de inferência fornece bases ideais para o tratamento desse tipo de problema, caracterizado principalmente pela análise de incerteza em dados e informação *a priori* e a existência de relações matemáticas entre observações e parâmetros. Neste caso, as observações são os dados de poço e o parâmetro é a porosidade. O presente trabalho consiste no desenvolvimento da metodologia de inversão para aplicação em dados de poço, seguindo o formalismo defendido por Jeffreys (1939), Zellner (1971), Bretthorst (1988) e Jaynes (1996). A metodologia é ilustrada através de um exemplo, utilizando dados sintéticos.

METODOLOGIA

Considere os dados de perfis de porosidade, velocidades de ondas P e S e densidade como sendo representados, respectivamente, pelos vetores \mathbf{d}_ϕ , \mathbf{d}_{VP} , \mathbf{d}_{VS} , e \mathbf{d}_ρ . O problema consiste em utilizar esses dados e outras informações adicionais (informação *a priori*), representadas por I , para estimar a porosidade intervalar ϕ , através da metodologia bayesiana de inferência. De acordo com essa metodologia, a solução do problema é fornecida pela distribuição posterior de porosidade condicional aos dados e informação *a priori* $p(\phi | \mathbf{d}_\phi, \mathbf{d}_{VP}, \mathbf{d}_{VS}, \mathbf{d}_\rho, I)$. A distribuição posterior é fornecida pela aplicação do Teorema de Bayes, que neste caso, pode ser escrito como

$$p(\phi | \mathbf{d}_\phi, \mathbf{d}_{VP}, \mathbf{d}_{VS}, \mathbf{d}_\rho, I) = \frac{s(\phi | I) r(\mathbf{d}_\phi, \mathbf{d}_{VP}, \mathbf{d}_{VS}, \mathbf{d}_\rho | \phi, I)}{h(\mathbf{d}_\phi, \mathbf{d}_{VP}, \mathbf{d}_{VS}, \mathbf{d}_\rho, I)}, \quad (4)$$

sendo que $s(\phi | I)$ é a distribuição *a priori* de ϕ , $r(\mathbf{d}_\phi, \mathbf{d}_{VP}, \mathbf{d}_{VS}, \mathbf{d}_\rho | \phi, I)$ é a distribuição conjunta dos dados de poço e $h(\mathbf{d}_\phi, \mathbf{d}_{VP}, \mathbf{d}_{VS}, \mathbf{d}_\rho, I)$ é um termo normalizador. r também pode ser definida como a função verossimilhança de ϕ , uma vez que ajusta os dados observados, conforme relações constitutivas da petrofísica como função de ϕ . Os vetores de dados são independentes uns dos outros, o que permite a decomposição de r como o produto das distribuições marginais dos dados. Desse modo, e tomando κ como o fator de normalização, podemos escrever que

$$p(\phi | \mathbf{d}_\phi, \mathbf{d}_{VP}, \mathbf{d}_{VS}, \mathbf{d}_\rho, I) = \kappa s(\phi | I) r_1(\mathbf{d}_\phi | \phi, I) r_2(\mathbf{d}_{VP} | \phi, I) r_3(\mathbf{d}_{VS} | \phi, I) r_4(\mathbf{d}_\rho | \phi, I). \quad (5)$$

O próximo passo é definir as relações entre os dados de perfis e a porosidade. Por conveniência, sejam os índices ϕ , VP , VS e ρ substituídos, respectivamente, pelos números de 1 a 4. Assim, podemos escrever

$$\mathbf{d}_\phi \rightarrow \mathbf{d}_1 = \mathbf{f}_1(\phi) + \mathbf{e}_1, \quad (6)$$

$$\mathbf{d}_{VP} \rightarrow \mathbf{d}_2 = \mathbf{f}_2(\phi) + \mathbf{e}_2, \quad (7)$$

$$\mathbf{d}_{VS} \rightarrow \mathbf{d}_3 = \mathbf{f}_3(\phi) + \mathbf{e}_3, \quad (8)$$

$$\mathbf{d}_\rho \rightarrow \mathbf{d}_4 = \mathbf{f}_4(\phi) + \mathbf{e}_4, \quad (9)$$

onde \mathbf{d}_i , \mathbf{f}_i e $\mathbf{e}_i \in \mathcal{R}^{N_i}$, $i = 1, \dots, 4$, sendo \mathbf{f}_1 a identidade, \mathbf{f}_2 , \mathbf{f}_3 e \mathbf{f}_4 definidos, respectivamente, com base nas equações (1), (2) e (3) e \mathbf{e}_i são os erros das observações. Para a descrição dos erros, consideramos informação de momentos de primeira e segunda ordens. Neste caso, a distribuição consistente com princípio da entropia máxima é a normal. Isso define as expressões para as distribuições dos dados r_i como sendo da forma

$$r_i(\mathbf{d}_i | \phi, I) = \frac{1}{\sqrt{2\pi\sigma_i^2}} \exp \left\{ -\frac{1}{2\sigma_i^2} [\mathbf{d}_i - \mathbf{f}_i(\phi)]^T [\mathbf{d}_i - \mathbf{f}_i(\phi)] \right\}, \quad i = 1, \dots, 4, \quad (10)$$

onde σ_i^2 é a variância do i -ésimo vetor de erros. Para completar a equação (5), resta definir a distribuição *a priori* s . Vamos considerar s uniforme, podendo ser absorvida na constante κ .

Em geral a variância dos erros é desconhecida, sendo portanto um parâmetro adicional a ser estimado. Na verdade, nesse caso, precisamos reescrever a distribuição posterior, como sendo

$$p'(\phi, \sigma_\phi, \sigma_{VP}, \sigma_{VS}, \sigma_\rho | \mathbf{d}_\phi, \mathbf{d}_{VP}, \mathbf{d}_{VS}, \mathbf{d}_\rho, I).$$

A inferência bayesiana dispõe de um recurso alternativo à estimativa das variâncias que é a marginalização. O processo de marginalização consiste em eliminar os parâmetros “desinteressantes” através de integração. Neste caso específico, temos que

$$p(\phi | \mathbf{d}_\phi, \mathbf{d}_{VP}, \mathbf{d}_{VS}, \mathbf{d}_\rho, I) = \int_0^\infty p'(\phi, \sigma_\phi, \sigma_{VP}, \sigma_{VS}, \sigma_\rho | \mathbf{d}_\phi, \mathbf{d}_{VP}, \mathbf{d}_{VS}, \mathbf{d}_\rho, I) d\sigma_\phi d\sigma_{VP} d\sigma_{VS} d\sigma_\rho. \quad (11)$$

A integração com relação a σ de distribuições gaussianas resulta em distribuições do tipo t-student. Isso aplicado às nossas expressões resulta em funções de verossimilhança com a seguinte forma

$$r_i(\mathbf{d}_i | \phi, I) \propto \{[\mathbf{d}_i - \mathbf{f}_i(\phi)]^T [\mathbf{d}_i - \mathbf{f}_i(\phi)]\}^{-\frac{N_i}{2}}. \quad (12)$$

Fazendo $N_i = N, i = 1, \dots, 4$, obtemos a seguinte expressão para a distribuição posterior:

$$p(\phi | \mathbf{d}_\phi, \mathbf{d}_{VP}, \mathbf{d}_{VS}, \mathbf{d}_\rho, I) \propto \sum_{j=1}^N [\phi^4 - \phi^3 A_j + \phi^2 B_j - \phi D_j + E_j]^{-N}, \text{ onde} \quad (13)$$

$$A_j = \frac{d_{3j}}{f_{4j}} + \frac{d_{4j}}{f_{3j}} + \frac{d_{2j}}{f_{2j}} + \frac{d_{1j}}{f_{1j}}, \quad (14)$$

$$B_j = \frac{d_{3j} d_{4j}}{f_{3j} f_{4j}} + \frac{d_{2j} d_{3j}}{f_{2j} f_{3j}} + \frac{d_{2j} d_{4j}}{f_{2j} f_{4j}} + \frac{d_{1j} d_{3j}}{f_{1j} f_{3j}} + \frac{d_{1j} d_{4j}}{f_{1j} f_{4j}} + \frac{d_{1j} d_{2j}}{f_{1j} f_{2j}}, \quad (15)$$

$$D_j = \frac{d_{2j} d_{3j} d_{4j}}{f_{2j} f_{3j} f_{4j}} + \frac{d_{1j} d_{3j} d_{4j}}{f_{1j} f_{3j} f_{4j}} + \frac{d_{1j} d_{2j} d_{4j}}{f_{1j} f_{2j} f_{4j}} + \frac{d_{1j} d_{2j} d_{3j}}{f_{1j} f_{2j} f_{3j}}, \quad (16)$$

$$E_j = \frac{d_{1j} d_{2j} d_{3j} d_{4j}}{f_{1j} f_{2j} f_{3j} f_{4j}}. \quad (17)$$

TESTES TEÓRICOS

Para avaliar o comportamento da metodologia proposta, consideramos um modelo sintético simplificado. O modelo consiste de uma camada de 30 metros de espessura, com porosidade de 25.6 % e pressão de 0.4 kbar/cm². Esses valores correspondem a uma amostra de arenito (amostra Gulf124155 da tabela 1 de Eberhart-Phillips *et al.* (1989)). A quantidade de argila varia linearmente com a profundidade. No topo, o percentual de argila é 20 %, aumentando em 10 % até a base do pacote. Usando esses dados e as equações (6)-(9) com erros pseudo-aleatórios gaussianos, são simulados os dados $\mathbf{d}_\phi, \mathbf{d}_{VP}, \mathbf{d}_{VS}$ e \mathbf{d}_ρ com um espaçamento amostral de 30 cm. Além do ruído gaussiano, os dados de porosidade foram acrescidos de um valor constante de 15 % do valor da porosidade real, com a intenção de simular um erro sistemático de calibração.

A inversão consiste na aplicação da equação (13) aos dados $\mathbf{d}_\phi, \mathbf{d}_{VP}, \mathbf{d}_{VS}$ e \mathbf{d}_ρ , considerando como informação *a priori* o real teor de argila. O objetivo principal é analisar o efeito da existência do suposto erro sistemático desconhecido do perfil de porosidade na inversão conjunta. O cálculo das distribuições posteriores se processa em uma janela móvel de 10 observações a partir dos dados de $\mathbf{d}_\phi, \mathbf{d}_{VP}, \mathbf{d}_{VS}$ e \mathbf{d}_ρ em diversas combinações: individualmente, e em conjunto.

A Figura 2 mostra os resultados através de gráficos da profundidade versus porosidade, com as distribuições para a porosidade de cada intervalo de profundidade representada em escala de cores. Os gráficos do topo da

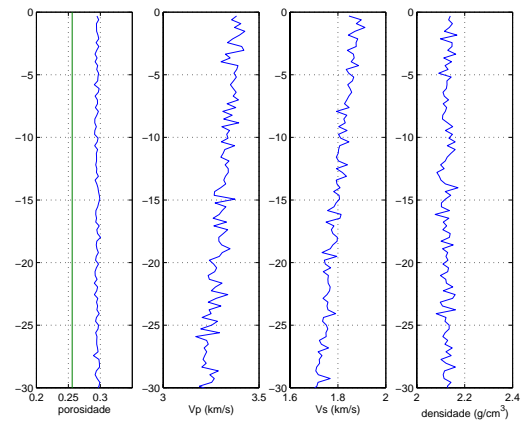


Figura 1: Perfis sintéticos, da esquerda para a direita, para ϕ, VP, VS e ρ .

Figura 2: Resultados da inversão conjunta e individual para a porosidade de cada intervalo de profundidade representada em escala de cores. Os gráficos do topo da

Figura 2 mostram os resultados das inversões considerando apenas um tipo de dado $p(\phi | \mathbf{d}_\phi, I)$, $p(\phi | \mathbf{d}_{VP}, I)$, $p(\phi | \mathbf{d}_{VS}, I)$ e $p(\phi | \mathbf{d}_\rho, I)$. A inversão do perfil de porosidade claramente mostra o efeito do erro de calibração. A inversão dos demais tipos de perfis isolados produzem bons resultados por utilizarem informações *a priori* corretas. No entanto, é interessante notar as aberturas das distribuições que atribuem confiabilidade decrescente para os resultados obtidos pela inversão dos dados de VS , VP e ρ , respectivamente.

Os gráficos da linha de baixo da Figura 2 mostram inversões conjunta de dados. Os três primeiros em pares combinando dados de porosidade com cada um dos outros três tipos de perfis. $p(\phi | \mathbf{d}_\phi, \mathbf{d}_\rho, I)$ não apresenta nenhuma melhora notável. $p(\phi | \mathbf{d}_\phi, \mathbf{d}_{VP}, I)$ já começa a apresentar melhorias com uma segunda moda de pequena amplitude aparecendo sobre o valor real da porosidade. $p(\phi | \mathbf{d}_\phi, \mathbf{d}_{VS}, I)$ demonstra comportamento similar ao resultado anterior, mas, de forma consistente com a inversão de dados isolados, gera uma segunda moda ainda mais acentuada. Finalmente, o gráfico final mostra o resultado utilizando todos os perfis, o que produz um resultado satisfatório na correção do desvio de calibração nos dados de porosidade.

CONCLUSÕES

A teoria bayesiana de inferência dispõe de recursos para o tratamento de uma quantidade significativa de informação de uma forma relativamente simples no processo de inversão conjunta de perfis de poço. Resultados da aplicação dessa metodologia para a inferência de porosidade intervalar em um modelo sintético demonstram que: a) em ordem decrescente, os dados mais informativos a respeito da porosidade são VS , VP e ρ ; e b) a inversão conjunta de perfis pode reverter efeitos de erros sistemáticos em situações idealizadas. Combinações de incertezas mais complexas para permitir o tratamento sistemático de dados reais serão alvos de investigações futuras. A extensão da metodologia para incluir dados de sísmica de superfície deve resultar numa nova metodologia para a caracterização de reservatório.

REFERÊNCIAS

- Bretthorst, L., 1988, Bayesian spectrum analysis and parameter estimation. *In Lecture Notes in Statistics* **48**, Springer-Verlag, New York.
- Burge, D.W., Neff, D.B., 1998, Well-based seismic lithology inversion for porosity and pay-thickness mapping. *The Leading Edge*, **17**, p. 166-171.
- Eberhart-Phillips, D., Han, D., Zoback, M. D., 1989, Empirical relationships among seismic velocity, effective pressure, porosity, and clay content in sandstone. *Geophysics*, **54**, 82-89.
- Gassmann, F., 1951, Elastic waves through a packing of spheres. *Geophysics*, **16**, 673-685.
- Han, D., Nur, A., Morgan, D., 1986, Effects of porosity and clay content on waves velocities in sandstones. *Geophysics*, **51**, 2093-2107.
- Jaynes, E. T., 1996, *Probability Theory - The Logic of Science*. Edição preliminar fragmentada, disponível através do endereço eletrônico <http://bayes.wustl.edu>.
- Jeffreys, H., 1939, *Theory of Probability*. Oxford University Press, London.
- Raymer, D., Hunt, S., Gardner, J. S., 1980, An improve sonic transit time-to-porosity transform. Society of Professional Well Log Analysts, 21st Annual Meeting, paper P.
- Wyllie, M. R. J., Gregory, A. R., Gardner, L.W., 1956, Elastic wave velocities in heterogeneous and porous media. *Geophysics*, **21**, p. 41-70.
- Zellner, A., 1971, *An Introduction to Bayesian Inference in Econometrics*. John Wiley and Sons, New York

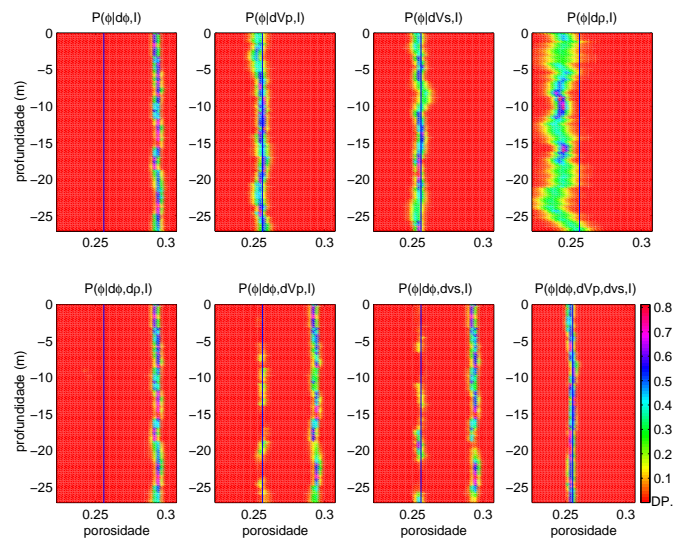


Figura 2: Resultados para inversão dos perfis individuais (acima) e combinados (abaixo) conforme indicado nos gráficos. O traço azul indica o valor real da porosidade.